图3 支座高度不等的  $n$  跨连拱体系

那么下面讨论对于高跨比相同及跨度不等但对称的情况,它只是上述连拱体系的一种特例,当跨数  $n$  为偶数时,由于对称性,显然  $f_n - f_{n-1} + \dots + (-1)^{n-1} \cdot f_1 = 0$ , 连拱体系为几何可变的体系;当跨数  $n$  为奇数时,连拱体系不一定是几何不变的体系,还需分情况讨论:奇数跨连拱体系结构中有一跨正好位于对称轴上,不妨称为“中轴跨”,设中轴跨是第  $K$  跨,则由对称性,有:当  $f_K - 2f_{K-1} + \dots +$

$(-1)^{n-1} \cdot 2f_1 = 0$  时,连拱体系允许存在自内力,为几何可变的体系;当  $f_K - 2f_{K-1} + \dots + (-1)^{n-1} \cdot 2f_1 \neq 0$  时,连拱体系的内力只有零解,为几何不变的体系。

## 参考文献

- 1 单建. 趣味结构力学. 北京: 高等教育出版社, 2008
- 2 龙驭球, 包世华. 结构力学教程. 北京: 高等教育出版社, 2000

(责任编辑: 胡漫)

# 积分法与单位载荷法一致性的数学推证

郭孟武<sup>1)</sup>

(清华大学土木系, 北京 100084)

**摘要** 在结构力学的线弹性问题中, 求解杆件位移可用积分法与单位载荷法, 两种方法的结果一致; 在逻辑上, 两种方法在处理该问题上的等价性也是比较明显的. 本文旨在将这一致性进行数学上的表述与推证. 本文在一般情形下, 利用单位载荷法表示出杆件单元的位移分布, 并验证该位移满足积分法所用的小挠度曲线微分方程以及边界条件. 以此方式在数学上完成了该一致性的推证与论述.

**关键词** 弹性位移, 积分法, 单位载荷法, 等价性

**中图分类号:** O342 **文献标识码:** A

**DOI:** 10.6052/1000-0879-12-276

在结构力学的线弹性问题中, 求解杆件位移的方法有多种. 积分法是基于微分方程  $\frac{d^2 w}{dx^2} = \frac{d\theta}{dx} = \frac{M_p(x)}{EI}$ <sup>[1]</sup>, 求得弯矩分布之后, 通过积分, 结合边界条件得到  $w$  与  $\theta$  关于  $x$  的表达式, 求得的是杆件真实的位移分布. 单位载荷法是基于虚力原理的, 可求解杆件任意位置任意位移分量, 该方法令单位载荷体系的内力在实际变形上做功, 求得的自然也是真实的位移分布. 两种方法在逻辑上必然是等价的. 本文希望在数学上推证这种等价性.

## 1 总体说明

本文采取的推证方式为, 证明由单位载荷法求得的挠度、转角函数满足小挠度曲线微分方程  $\frac{d^2 w}{dx^2} = \frac{d\theta}{dx} =$

$\frac{M_p(x)}{EI}$ , 并满足边界条件.

在本文中, 弯矩的正负号定义为: 杆件上部受拉对应的弯矩为正, 下部受拉对应的弯矩为负; 转角的正负号定义为: 顺时针转动为正, 逆时针转动为负; 剪力正负号规定同结构力学; 局部坐标定义为: 沿杆件向右为  $u$  正向, 垂直于杆件向下为  $v$  正向.

## 2 引理

在推证等价性前需要对引理进行说明.

引理: 某长为  $L$  的弹性直杆在外载荷作用下有弯矩分布  $M_p(s)$ , 其两端垂直于杆件方向的位移分别为  $v_A, v_B$  (如图 1 所示).

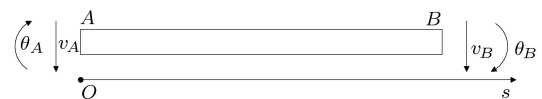


图1 外载荷作用下杆端位移示意图 (体系 A)

证明其右端的转角可以表示为

$$\theta(s=L) = \theta_B = \frac{v_B - v_A}{L} + \frac{1}{EI} \int_0^L \frac{s}{L} M_p(s) ds \quad (1)$$

证明: 考虑一根悬臂梁同样有弯矩分布  $M_p(s)$ , 其右端转角为  $\theta_1 = \int_0^L \frac{M_p(s)}{EI} ds$ , 右端的挠度为  $w_1 =$

2012-07-12 收到第 1 稿, 2012-11-25 收到修改稿.

1) 郭孟武, 1991 年生, 男, 本科生. E-mail: gmwgmwfms@sina.com

$\int_0^L dt \int_0^t \frac{M_p(s)}{EI} ds$ . 容易得到, 两端垂直于杆件方向的位移分别为  $v_A, v_B$  的杆件在弯矩分布  $M_p(s)$  下右端转角可以

表示为  $\theta(s=L) = \theta_B = \frac{v_B - v_A}{L} + \theta_1 - \frac{w_1}{L}$ .

进一步计算如下

$$\begin{aligned} \theta(s=L) = \theta_B &= \frac{v_B - v_A}{L} + \int_0^L \frac{M_p(s)}{EI} ds - \frac{1}{L} \int_0^L dt \int_0^t \frac{M_p(s)}{EI} ds = \\ &= \frac{v_B - v_A}{L} + \frac{1}{EI} \left( \int_0^L M_p(s) ds - \iint_{\substack{0 \leq s \leq t, \\ 0 \leq t \leq L}} \frac{M_p(s)}{L} ds dt \right) = \\ &= \frac{v_B - v_A}{L} + \frac{1}{EI} \left( \int_0^L M_p(s) ds - \int_0^L ds \int_s^L \frac{M_p(s)}{L} dt \right) = \\ &= \frac{v_B - v_A}{L} + \frac{1}{EI} \left( \int_0^L M_p(s) ds - \int_0^L M_p(s) \left(1 - \frac{s}{L}\right) ds \right) = \\ &= \frac{v_B - v_A}{L} + \frac{1}{EI} \int_0^L \frac{s}{L} M_p(s) ds \end{aligned} \quad (2)$$

则该引理证毕.

### 3 等价性的数学推证

本文的核心命题为: 求解线弹性体系中的某杆件位移分布时, 利用单位载荷法求得的挠度  $w(x)$  满足微分方程  $\frac{d^2 w}{dx^2} = \frac{M_p(x)}{EI}$ , 并满足边界条件. 以下将进行推证.

结构中某杆件在外载荷作用下的弯矩分布为  $M_p(s)$ , 其中  $s$  为沿杆件的局部坐标. 不妨称该体系为体系 A, 在单位载荷法中, 该体系贡献变形与位移. 体系 A 的杆端位移亦如图 1 所示.

依据单位载荷法的基本原理即虚功原理, 还需要有一个单位载荷作用的体系 B, 令体系 B 的内力与外力分别在体系 A 的变形与位移上做功, 从而写出虚功方程. 出于方便, 该体系 B 选为几何尺寸同体系 A 的杆件单元, 单位载荷作用于  $s=x$  处, 同时杆端作用着外力如图 2 所示.

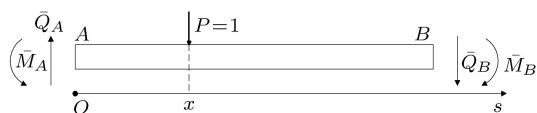


图 2 单位载荷作用下杆端内力示意图 (体系 B)

在杆系结构中, 单位载荷在某杆件上移动, 移动时的杆端内力  $\bar{M}_A, \bar{M}_B, \bar{Q}_A, \bar{Q}_B$  与单位载荷所处的局部坐标成线性关系. 由此,  $\bar{M}_A, \bar{M}_B, \bar{Q}_A, \bar{Q}_B$  均为  $x$  的线性函数, 且满足

$$\bar{Q}_A = \left(1 - \frac{x}{L}\right) + \frac{\bar{M}_A - \bar{M}_B}{L} \quad (3)$$

$$\bar{Q}_B = -\frac{x}{L} + \frac{\bar{M}_A - \bar{M}_B}{L} \quad (4)$$

由虚力原理, 体系 B 的内力与外力分别在体系 A 的变形与位移上做功, 由外力功等于内力功得到如下方程<sup>[2]</sup>

$$\begin{aligned} w(x) + \bar{Q}_B v_B - \bar{Q}_A v_A + \bar{M}_B \theta_B - \bar{M}_A \theta_A = \\ \frac{1}{EI} \int_0^L \bar{M}(s, x) M_p(s) ds \end{aligned} \quad (5)$$

利用  $\bar{M}_A, \bar{M}_B, \bar{Q}_A, \bar{Q}_B$  与  $x$  的线性关系易得到

$$\frac{d^2 w(x)}{dx^2} = \frac{1}{EI} \int_0^L \frac{\partial^2 \bar{M}(s, x)}{\partial x^2} M_p(s) ds \quad (6)$$

又由于

$$\bar{M}(s, x) = \begin{cases} \frac{s(x-L)}{L} + \bar{M}_A + \frac{\bar{M}_B - \bar{M}_A}{L} s, & 0 \leq s < x \\ \frac{x(s-L)}{L} + \bar{M}_A + \frac{\bar{M}_B - \bar{M}_A}{L} s, & x < s \leq L \end{cases} \quad (7)$$

得到

$$\frac{\partial \bar{M}(s, x)}{\partial x} = \begin{cases} \frac{s}{L} + \frac{\partial}{\partial x} \left( \bar{M}_A + \frac{\bar{M}_B - \bar{M}_A}{L} s \right), & 0 \leq s < x \\ \frac{s-L}{L} + \frac{\partial}{\partial x} \left( \bar{M}_A + \frac{\bar{M}_B - \bar{M}_A}{L} s \right), & x < s \leq L \end{cases} \quad (8)$$

鉴于  $\bar{M}_A, \bar{M}_B$  与  $x$  的线性关系,

$\frac{\partial}{\partial x} \left( \bar{M}_A + \frac{\bar{M}_B - \bar{M}_A}{L} s \right)$  与  $x$  无关, 进一步得到

$$\frac{\partial^2 \bar{M}(s, x)}{\partial x^2} = \delta(s-x) \quad (9)$$

$\delta(s)$  为狄拉克  $\delta$  函数<sup>[3]</sup>. 根据其性质

$$\frac{d^2 w(x)}{dx^2} = \frac{1}{EI} \int_0^L \delta(s-x) M_p(s) ds = \frac{M_p(x)}{EI} \quad (10)$$

即验证了单位载荷法的解满足微分方程. 还须进一步验证边界条件.

当  $x=0$  时,  $\bar{M}_B = \bar{M}_A = 0, \bar{Q}_A = 1, \bar{Q}_B = 0, \bar{M}(s, x) = 0; x=L$  时,  $\bar{M}_B = \bar{M}_A = 0, \bar{Q}_A = 0,$

$\bar{Q}_B = -1$ ,  $\bar{M}(s, x) = 0$ . 因此由虚力原理方程可以得到  $w(0) = v_A$ ,  $w(L) = v_B$ .

另外, 当  $x = L$  时, 根据  $\bar{M}_B = \bar{M}_A = 0$  以及式 (8), 得到  $\frac{\partial \bar{M}(s, x)}{\partial x} = \frac{s}{L}$ . 再由式 (5), 对  $w(x)$  求一阶导数, 可得

$$\left. \frac{dw}{dx} \right|_{x=L} = \frac{v_B - v_A}{L} + \frac{1}{EI} \int_0^L \frac{s}{L} M_P(s) ds \quad (11)$$

由引理可见  $\left. \frac{dw}{dx} \right|_{x=L} = \theta_B$ ; 同理可证  $\left. \frac{dw}{dx} \right|_{x=0} = \theta_A$ .

综上, 边界条件也得到验证. 单位力偶作用在杆件上求解转角分布也可以依此法进行证明.

## 4 总结

单位载荷法的理论依据为虚力原理, 该方法的使用与材料本构关系无关; 而积分法的理论依据为小挠度微分方程, 是在材料服从胡克定律的前提下得到的. 上述推证从数学上论证了在材料满足胡克定律时, 积分法与单位载荷法在求解杆系结构弹性位移上的一致性. 在实际工程问题求解时, 应视方便选择具体的方法.

## 参考文献

- 1 范钦珊. 材料力学. 北京: 高等教育出版社, 2000
- 2 龙驭球, 包世华. 结构力学 I. 北京: 高等教育出版社, 2000
- 3 《数学手册》编写组. 数学手册. 北京: 高等教育出版社, 2006

(责任编辑: 胡漫)

# 计算机绘制无铰拱影响线的解析法<sup>1)</sup>

李彤<sup>\*,2)</sup> 李银山<sup>†</sup>

<sup>\*</sup>(华东理工大学机械与动力工程学院, 承压系统与安全教育部重点实验室, 上海 200237)

<sup>†</sup>(河北工业大学机械工程学院, 天津 300130)

**摘要** 提出了用 Maple 编程绘制无铰拱影响线的解析法. 绘制了抛物线无铰拱在单位竖向移动载荷作用下, 3 个多余未知力的影响线; 指定截面上的弯矩, 剪力和轴力的影响线; 支座水平约束力, 垂直约束力及约束力矩的影响线. 实例表明, 利用 Maple 强大的符号运算功能, 使用解析法绘制无铰拱影响线, 速度快, 方法简单, 能同时给出影响线的解析表达式.

**关键词** 无铰拱, 超静定, 影响线, 弹性中心法, Maple

中图分类号: U448.22 文献标识码: A

DOI: 10.6052/1000-0879-12-150

## 引言

影响线是结构力学中重要内容, 在求解结构受移动载荷(如桥梁要承受的列车、汽车等载荷, 厂房中的吊车梁要承受吊车载荷)作用下指定量值时有广泛的应用, 是确定最不利载荷位置的有效方法<sup>[1-2]</sup>. 由于无铰拱的轴线为曲线, 而且属于三次超静定结构, 用传统手工方法绘影响线需要列表数值计算, 计算繁琐, 工作量大, 很难准确而快捷地求解无铰拱弯矩影响线<sup>[3-4]</sup>.

在国外大学及研究所, Maple 已广泛应用于工程实际、科研及教学中. 叶志明等<sup>[5]</sup>介绍了计算机代数系统在研究和力学教学领域的应用. 马开平等<sup>[6]</sup>收集了 Maple 在 11

个领域的 27 个应用实例, 许多都是很好的教学素材. 邢静忠<sup>[7]</sup>采用 Maple 编程, 编制了杆、梁、实体和板单元的有限元程序. 向宏军等<sup>[8]</sup>探讨了 Maple 在结构力学教学中的应用. 李银山<sup>[9-10]</sup>编著出版了《Maple 理论力学》、《Maple 材料力学》教材.

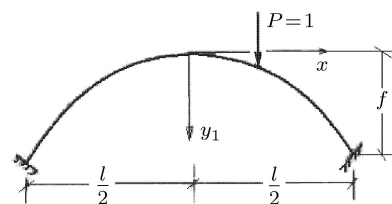
本文应用 Maple 软件编程, 采用解析法绘制计算了无铰拱的多余未知力、指定截面的内力和支座约束力的影响线.

## 1 计算机绘制无铰拱影响线的方法和步骤

### 1.1 绘制无铰拱多余未知力影响线

设有抛物线无铰拱, 如图 1(a) 所示. 绘制无铰拱多余未知力影响线的步骤如下:

(1) 确定弹性中心的位置: ①计算刚臂长度  $y_s$ ; ②把坐标原点移至弹性中心; (2) 确定与载荷无关的常数; (3) 确定



(a) 无铰拱三次超静定结构

图 1 抛物线无铰拱

2012-04-09 收到第 1 稿, 2013-04-24 收到修改稿.

1) 国家自然科学基金(10872063), 上海市重点学科建设(B503)资助项目.

2) 李彤, 1962 年生, 女, 讲师, 博士, 研究方向为结构优化设计. E-mail: tongli@ecust.edu.cn